

УДК 517.9+ (616.07)

Л. И. Тарасенко-Зеленая,  
А. Н. Заварин, С. Л. Радванский

## Высокочастотное ядро в алгоритме восстановления функции по проекциям для расходящихся лучей

Впервые задача восстановления функции двух переменных по проекциям для параллельных лучей была решена Радоном [1], а дальнейшее развитие методов восстановления связано в основном с успешным внедрением реконструктивной вычислительной томографии [2—5]. Необходимость увеличения скорости сбора данных и их обработки обусловили появление различных модификаций методов восстановления для случая расходящихся лучей.

Рассматриваемый в статье метод реконструкции изображений по проекциям относится к методам интегральных преобразований и использует процедуры свертки и обратного проецирования.

Пусть  $f(x_1, x_2)$  — интегрируемая с квадратом функция, равная нулю вне заданной ограниченной области  $\Omega \subset R^2$ . Проекциями функции  $f(x_1, x_2)$  называют ее преобразование Радона  $p(\beta, \gamma)$ , определяемое интегрированием функции  $f(x_1, x_2)$  вдоль лучей, заданных с помощью параметров  $\beta, \gamma$ . Для системы веерных лучей параметр  $\beta$  определяет угол между осью  $x_2$  и центральным лучом в пучке лучей, источник которых расположен на окружности радиуса  $L$ , а параметр  $\gamma$ ,  $-\gamma_m \leq \gamma \leq \gamma_m$ , определяет угол отклонения данного луча от центрального луча в пучке (который проходит через начало координат). Задача восстановления изображения по проекциям заключается в отыскании функции  $f(x_1, x_2)$  по заданной функции  $p(\beta, \gamma)$ .

Используя изложенную в [2, 3] методику перехода от параллельных лучей к веерным, формулу восстановления можно представить в виде

$$f(x_1, x_2) = \frac{L}{2} \int\limits_0^{2\pi} \int\limits_{-\gamma_m}^{\gamma_m} \int\limits_{-\infty}^{\infty} p(\beta, \gamma) |R| \exp(2\pi i R \sin(\gamma_0 - \gamma)) dR d\gamma d\beta, \quad (1)$$

где  $\gamma_0 = \gamma_0(x_1, x_2, \beta)$  — параметр луча, проходящего через точку с коорди-

натами  $(x_1, x_2)$ ,  $S = S(x_1, x_2, \beta)$  — расстояние от источника лучей до восстанавливаемой точки,  $p(\beta, \gamma) = p(\beta, \gamma) \cos \gamma$ .

Существуют различные подходы, реализующие соотношение (1). В данной статье предлагается подход, в котором внутренний интеграл по переменной  $\gamma$  рассматривается как свертка функции  $p(\beta, \gamma)$  с ядром  $K(\gamma)$ , определяемым по формуле

$$K(\gamma) = \int_{-\infty}^{\infty} |R| \exp(2\pi i R \sin \gamma) dR. \quad (2)$$

Ядро (2) относится к классу обобщенных функций и на практике при вычислениях его заменяют некоторым регулярным аналогом, построенным с помощью аппроксимации функции  $|R|$ . Обычно используется умножение функции  $|R|$  на некоторую финитную функцию, что отрицательно сказывается на восстановлении высокочастотных составляющих  $f(x_1, x_2)$ .

Основным результатом работы является применение аппроксимации частотной характеристики ядра в виде

$$W(R) = \frac{1}{\varepsilon} (1 - \exp(-|R|\varepsilon)), \quad (3)$$

которая при  $\varepsilon \rightarrow 0$  стремится к функции  $|R|$ , и получение на базе этого формулы восстановления в следующем виде:

$$\begin{aligned} f(x_1, x_2) = & \frac{L}{2} \int_0^{2\pi} \frac{1}{2\pi^2 S^2} \left[ \int_{G_1} \frac{p(\beta, \gamma_0) - p(\beta, \gamma_0 + y)}{\frac{\varepsilon^2}{4\pi^2 S^2} + \sin^2 y} dy + \right. \\ & \left. + \int_{G_2} \frac{p(\beta, \gamma_0) - p(\beta, \gamma_0 + y)}{\sin^2 y} dy \right] d\beta, \end{aligned} \quad (4)$$

где  $G_1 = (-\eta, \eta)$ ,  $G_2 = (-\pi/2 - \gamma_0, -\eta) \cup (\eta, \pi/2 - \gamma_0)$ ,  $\eta > 0$  — малая величина.

Докажем соотношение (4).

Подставляя в (1) вместо функции  $|R|$  ее аппроксимацию (3) и производя интегрирование внутреннего интервала в (1), получаем представление интеграла по  $\gamma$  в (1) в виде свертки

$$g(\beta, \gamma_0) = \frac{1}{\varepsilon S} p(\beta, \gamma_0) - 2 \int_{-\gamma_m}^{\gamma_m} \frac{p(\beta, \gamma)}{\varepsilon^2 + 4\pi^2 S^2 \sin^2(\gamma_0 - \gamma)} d\gamma. \quad (5)$$

В силу финитности функции  $p(\beta, \gamma)$  интервал интегрирования по  $\gamma$  далее заменим на  $[-\pi/2, \pi/2]$ . Сделаем в (5) замену переменных  $\gamma_0 - \gamma = y$  и из соотношения

$$2 \int_{-\pi/2}^{\pi/2} (\varepsilon^2 + 4\pi^2 S^2 \sin^2 x)^{-1} dx = \frac{1}{\varepsilon S} \left( \frac{\varepsilon^2}{4\pi^2 S^2} + 1 \right)^{-1/2} + O(\varepsilon) \quad (6)$$

определим  $\frac{1}{\varepsilon S}$ , которое подставим в (5). Получим

$$g(\beta, \gamma_0) = \frac{1}{2\pi^2 S^2} \int_{-\pi/2}^{\pi/2} \frac{p(\beta, \gamma_0) - p(\beta, \gamma_0 + y)}{\frac{\varepsilon^2}{4\pi^2 S^2} + \sin^2 y} dy + O(\varepsilon). \quad (7)$$

Выделим в (7) области интегрирования  $G_1$  и  $G_2$ . Так как в области  $G_2 \sin^2 y \geq \sin^2 \eta$ , числитель в (7) ограничен, то нетрудно доказать равномерную

непрерывность по  $\varepsilon$  подынтегрального выражения в (7) в области  $G_2$  и перейти к пределу при  $\varepsilon \rightarrow 0$ :

$$g(\beta, \gamma_0) = \frac{1}{2\pi^2 S^2} \left[ \int_{G_1} \frac{p(\beta, \gamma_0) - p(\beta, \gamma_0 + y)}{\frac{\varepsilon^2}{4\pi^2 S^2} + \sin^2 y} dy + \right. \\ \left. + \int_{G_2} \frac{p(\beta, \gamma_0) - p(\beta, \gamma_0 + y)}{\sin^2 y} dy \right]. \quad (8)$$

Далее, согласно (1) формула восстановления будет иметь вид

$$f(x_1, x_2) = \frac{L}{2} \int_0^{2\pi} g(\beta, \gamma_0) d\beta, \quad (9)$$

что соответствует доказываемому выражению (4).

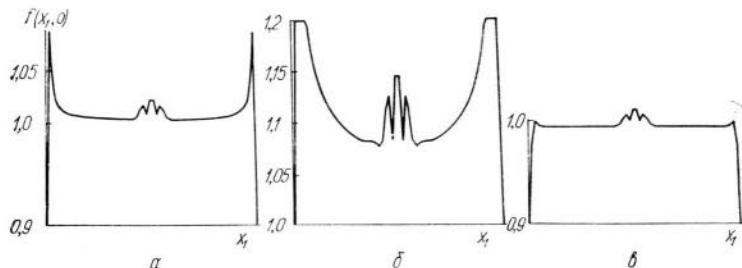
Отметим, что получить предел при  $\varepsilon \rightarrow 0$  в первом слагаемом формулы (8) в общем случае не удастся, так как рассматриваемая задача некорректна. При нахождении этого предела интеграл становится сингулярным и реализация его вычисления на ЦВМ связана с определенными трудностями. Именно конечная величина  $\varepsilon$  в первом слагаемом в (8) позволяет проводить вычисления по этой формуле на ЦВМ.

Из (8) и (9) можно получить формулы восстановления с некоторыми известными ядрами. Так, отбрасывая в (8) первое слагаемое и применяя формулу прямоугольников для численного интегрирования с шагом  $h = 2\Delta$ , где  $\Delta$  — интервал дискретизации функции  $p(\beta, \gamma)$  по  $\gamma$ , получаем формулу восстановления с ядром Рамачандрана—Лакшминараяна (при  $\eta = \Delta$ ). Если же при численном интегрировании использовать кусочно-постоянную аппроксимацию функции  $p(\beta, \gamma)$  и положить  $h = \Delta$ ,  $\eta = \Delta/2$ , то получим формулу восстановления с ядром Шеппа—Логана.

Проанализируем соотношение (8). Если  $p(\beta, \gamma)$  дважды дифференцируема по  $\gamma$  при  $\gamma \in (\gamma_0 - \eta, \gamma_0 + \eta)$ , то в (8) можно перейти к пределу при  $\varepsilon \rightarrow 0$  и получить следующее представление для функции  $g(\beta, \gamma_0)$ :

$$g(\beta, \gamma_0) = \frac{1}{2\pi^2 S^2} \int_{-(\gamma_m + \gamma_0)}^{\gamma_m - \gamma_0} \frac{p(\beta, \gamma_0) - p(\beta, \gamma_0 + y)}{\sin^2 y} dy. \quad (10)$$

В случае, когда в точке  $\gamma_0$  функция  $p(\beta, \gamma)$  или ее первая производная терпят разрыв, корректность перехода к пределу по  $\varepsilon$  остается открытой.



При этом величину  $\varepsilon$  можно рассматривать как регуляризирующий параметр

В случае, если возможно право- и левостороннее разложение в ряд Тейлора, можно получить формулу для  $g(\beta, \gamma_0)$ , в которой отброшены члены порядка  $\eta^2$ :

$$g(\beta, \gamma_0) = \frac{1}{2\pi^2 S^2} \left[ a p_1(\beta, \gamma_0) - p_2(\beta, \gamma_0) \frac{\eta}{2} + \int_{G_2} \frac{p(\beta, \gamma_0) - p(\beta, \gamma_0 + y)}{\sin^2 y} dy \right], \quad (11)$$

где  $a = \ln \frac{\varepsilon}{2\pi S}$ ,  $p_1(\beta, \gamma) = p'_+(\beta, \gamma_0) - p'_-(\beta, \gamma_0)$ ,  $p_2(\beta, \gamma_0) = p''_+(\beta, \gamma_0) + p''_-(\beta, \gamma_0)$ .

На рисунке представлены графики функции  $f(x_1, x_2)$  при  $x_2 = 0$ , восстановленной при использовании ядра Шеппа—Логана (а) и формулы (11) при значениях параметра  $a = -5$  (б) и  $a = 1$  (в).

Анализ результатов показывает, что при использовании высокочастотного ядра можно улучшить отображение высокочастотных составляющих функции  $f(x_1, x_2)$ , тем самым повысив разрешающую способность алгоритма восстановления. Целесообразно также ввести зависимость величины  $a$  от значений  $\rho(\beta, \gamma)$  и ее производной  $\rho'(\beta, \gamma)$ , а именно, уменьшать  $a$  в тех областях, где значение производной значительно, и наоборот.

1. Радон И. Об определении функций по их интегралам вдоль некоторых многообразий / С. Хелгасон. Преобразование Радона.— М. : Мир, 1983.— С. 134—148.
2. Скаддер Г. Дж. Введение в машинную томографию // Тр. Ин-та инженеров по электротехнике и радиоэлектронике.— 1978.— № 6.— С. 5—16.
3. Луитт Р. М. Алгоритмы реконструкции с использованием интегральных преобразований // Там же.— 1983.— 71, № 3.— С. 125—147.
4. Хермен Г. Восстановление изображений по проекциям. Основы реконструктивной томографии.— М. : Мир, 1983.— 349 с.
5. Введение в современную томографию (методы, средства, клинические исследования) / Под общей ред. К. С. Тернового, М. В. Синькова.— Киев : Наук. думка, 1983.— 231 с.

Ин-т пробл. моделирования в энергетике  
АН УССР, Киев

Получено 31.10.85,  
после доработки — 16.03.87